

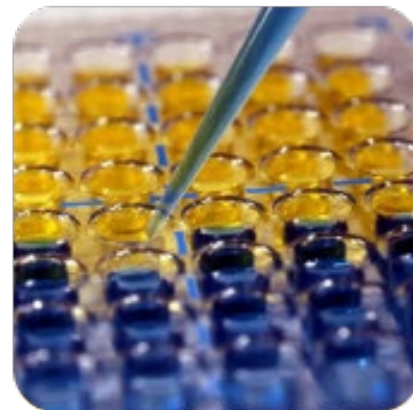
## Bufor zatrzymujący TMB

**Opis:** Stop Buffer (TSB) oferuje unikalną kombinację kwasów, która wytwarza bardziej stabilny produkt zatrzymanej reakcji niż inne preparaty H<sub>2</sub>SO<sub>4</sub> lub HCL. Zatrzymane reakcje wykazują około dwukrotnie wyższe wartości absorbancji w porównaniu z reakcjami niezatrzymanymi z minimalnym dryfem przez okres do sześciu godzin, w zależności od różnych warunków. Ten odczynnik można dostosować do specyficznych potrzeb każdego klienta. Zapytaj o niestandardowe alialing, etykietowanie, montaż zestawów i wysyłkę. Numery katalogowe substratów TMB firmy ScyTek to TM1 i TM4.

**Treść:** Opatentowane połączenie kwasów i w roztworze wodnym.

**Stabilność:** Okres trwałości wynosi 24 miesiące od dnia produkcji. Unikaj zanieczyszczenia odczynników sprzętem laboratoryjnym, który nie został dokładnie wyczyszczony. Test TMB ELISA jest podatny na zanieczyszczenie metalami utleniającymi, które mogą dawać fałszywie dodatni sygnał.

**Zastosowania/ograniczenia:** Nie należy przyjmować wewnątrznie.  
Do diagnostyki in vitro.  
Zastosowania immunologiczne.  
Nie używać, jeśli odczynniki stają się mętne.  
Nie używaj przeterminowanej daty ważności.  
Należy zachować ostrożność podczas obchodzenia się z odczynnikami.  
Niesterylne.



<b>Dostępność:</b>	<u>Przedmiot #</u>	<u>Głośność</u>
	Zobacz materiał TSB125	Pojemność 125 ml
	Zobacz materiał TSB500	Pojemność 500 ml
	Zobacz materiał TSB999 powiedział:	Pojemność 1000 ml

Informacje o zamówieniach zbiorczych i aktualne ceny w [www.scytek.com](http://www.scytek.com)


**Składowanie:** Przechowywać w temperaturze 2-8°C.


**Środki ostrożności:** Unikać kontaktu ze skórą i oczami.  
Działa szkodliwie po połknięciu.  
Nie pipetować odczynnika doustnie.  
Przestrzegaj wszystkich federalnych, stanowych i lokalnych przepisów dotyczących utylizacji.

### TMB – REAKCJA HRP

**Czynniki aktywujące:** Peroksydazy

**Czułość:** Nieistotne przy krótkich czasach naświetlania

Przechowywanie: 18° C  25° C

 Laboratoria ScyTek, Inc.  
205 Południe 600 Zachód  
Logan, UT 84321  
Stany Zjednoczone Ameryki



 

  
Emergo Europa  
Prinsessegracht 20  
2514 AP Haga, Holandia

- Objętość reakcji:** 50 - 100 ul na dołek w płytkach do mikromiareczkowania
- Czas reakcji:** Około 15 minut (zakres 5 - 60 min.)
- pH reakcji:** Około pH 6,0 (zakres 5,0 - 7,0)
- Temperatura reakcji:** Temperatura pokojowa
- Szczytowe długości fal:** 650 nm, niezatrzymany, niebieski produkt reakcji  
450 nm, zatrzymany, żółty produkt reakcji
- Rozwiązanie zatrzymujące:** Równa objętość bufora zatrzymania (cat# TSB). Zatrzymane reakcje wykazują około 2-krotnie zwiększone wartości absorbancji w porównaniu z reakcjami niezatrzynanymi.
- Stabilność reakcji:** Zatrzymane reakcje są stabilne przez co najmniej 30 minut do kilku godzin, w zależności od poziomu aktywności peroksydazy. Intensywne reakcje mogą przyspieszyć się przy długotrwałym staniu. Można temu zapobiec, zwiększając stężenie roztworu zatrzymującego.

#### Odwołania:

- Hirata, Kumiko i Keiji Kubo. "Związek między stężeniami N-karboksymetylo-lizyny i pentozydyny we krwi a nasileniem mikroangiopatii w cukrzycy typu 2." *Endocrine Journal* 51, nr 6 (2004): 537-44. <https://doi.org/10.1507/endocrj.51.537>.
- Nakamura, Naoto, Goji Hasegawa, Hiroshi Obayashi, Masahiro Yamazaki, Masakazu Ogata, Koji Nakano, Toshikazu Yoshikawa, et al. "Zwiększone stężenie pentozydyny, zaawansowanego produktu końcowego glikacji i interleukiny-6 w ciele szklistym pacjentów z proliferacyjną retinopatią cukrzycową." *Diabetes Research and Clinical Practice* 61, nr 2 (1 sierpnia 2003): 93-101. [https://doi.org/10.1016/S0168-8227\(03\)00109-8](https://doi.org/10.1016/S0168-8227(03)00109-8).
- Sanaka, Tsutomu, Takenori Funaki, Toshihisa Tanaka, Sayako Hoshi, Jyun Niwayama, Takashi Taitoh, Hideki Nishimura i Chieko Higuchi. "Poziomy pentozydyny w osoczu mierzone nowo opracowaną metodą z wykorzystaniem testu ELISA u pacjentów z przewlekłą niewydolnością nerek." *Nefron* 91, nr 1 (2002): 64-73. <https://doi.org/10.1159/000057606>.
- Takahashi, Masaharu, Tsutomu Nishizawa, Haruko Miyajima, Yuhko Gotanda, Teruhiko Iita, Fumio Tsuda i Hiroaki Okamoto. "Szczepki wirusa zapalenia wątroby typu E świń w Japonii tworzą cztery klastry filogenetyczne porównywalne z japońskimi izolatami ludzkiego wirusa zapalenia wątroby typu E." *Journal of General Virology* 84, nr 4 (2003): 851-62. <https://doi.org/10.1099/vir.0.18918-0>.
- Hoshino, Motoaki, Taku Yoshio, Sachiko Onishi i Seiji Minota. "Wpływ przeciwciał przeciwko infliksymabowi i etanerceptowi na skuteczność leczenia tych leków u japońskich pacjentów z reumatoidalnym zapaleniem stawów." *Współczesna Reumatologia* 22, nr 4 (1 sierpnia 2012): 532-40. <https://doi.org/10.3109/s10165-011-0567-8>.
- Kim, Kang Jung, Shigeru Kotake, Nobuyuki Udagawa, Hideo Ida, Masaji Ishii, Isao Takei, Toshikazu Kubo i Michiaki Takagi. "Osteoprotegeryna hamuje tworzenie się osteoklastów u myszy in vitro indukowanych przez płyn stawowy po nieudanej całkowitej endoprotezoplastyce stawu biodrowego". *Journal of Biomedical Materials Research* 58, nr 4 (2001): 393-400. <https://doi.org/10.1002/jbm.1033>.

Przechowywanie: 18°  
C  25° C

Laboratoria ScyTek, Inc.  
205 Południe 600 Zachód  
Logan, UT 84321  
Stany Zjednoczone Ameryki



EC REP  
Emergo Europa  
Prinsessegracht 20  
2514 AP Haga, Holandia